




Kharazmi University

An Accurate Numerical Method for Solving the Variable-Order Fractional Diffusion Problem

F. Kheirkhah¹ , M. Hajipour²  

1. Department of Mathematics, Faculty of Basic Sciences, Sahand University of Technology, Tabriz, Iran. E-mail: f_kheirkhah98@sut.ac.ir
2. Corresponding Author, Department of Mathematics, Faculty of Basic Sciences, Sahand University of Technology, Tabriz, Iran.  E-mail: hajipour@sut.ac.ir

Article Info

Article type:

Research Article

Article history:

Received: 20 November 2022

Received in revised form:

19 August 2022

Accepted: 9 October 2022

Published online:

9 June 2024

Keywords:

Variable-order fractional derivative,
Fractional diffusion equation,
Numerical method.

ABSTRACT

Introduction

Fractional calculus plays a worthy role in different disciplines of science and engineering such as in modeling of many physical phenomena. It is concerned with integrals and derivatives of arbitrary orders. The variable-order (VO) fractional derivatives are an extension of the constant fractional-order derivatives which simultaneously possesses memory it is a powerful tool in modeling complex dynamical systems related to non-locality and memory effect. Due to the high complexity of the VO fractional diffusion equations, their analytical solution is extremely difficult, and even in most cases is impossible. In the past decade, one of the main challenges has been to develop some approximate methods for the solution of the VO time-fractional diffusion equations in form (1). This equation contains a variable-order fractional time-derivative and a second-order spatial-derivative. To solve problem (1), we develop a high-order numerical method based on the compact finite difference and weighted shifted Grunwald-Letnikov operators.

Material and Methods

In this paper, first we define the VO Riemann-Liouville and Caputo fractional derivatives. Then, by using the shifted Grunwald-Letnikov operators, we derive a second-order approximate formula for discretizing the VO time-fractional derivative of order $\alpha(x, t)$. Using a compact finite difference method, the second-order spatial derivative is discretized. Therefore, the problem (1) is converted to a system of algebraic equations.

Results and discussion

We show that the proposed method is of fourth- and second-order of convergence accuracy in spatial and time directions, respectively. Also, the solvability, stability and convergence of the present method are established. To verify the efficiency and high accuracy of this method, some numerical examples and comparative results are presented.

Conclusion

The following conclusions are obtained from this research.

- A high-order numerical method is designed and implemented to solve a boundary value problem governed by the VO fractional diffusion equation.
-

-
-
- The proposed method is solvable, unconditionally stable and convergent.
 - The derived numerical results are not sensitive to roundoff error when the number of temporal/spatial cells increases.
 - The presented results coincided with the theoretical analysis very well.

How to cite: Kheirkhah, F., Hajipour, M. (2024). An accurate numerical method for solving the variable-order fractional diffusion problem. *Mathematical Researches*, **10** (1), 51 – 69.



© The Author(s).

Publisher: Kharazmi University

یک روش عددی دقیق برای حل مسأله نفوذ کسری مرتبه متغیر

فرناز خیرخواه^۱، مجتبی حاجی پور^۲ ✉

۱. گروه ریاضی، دانشکده علوم پایه مهندسی، دانشگاه صنعتی سهند تبریز، ایران. رایانامه: f_kheirkhah98@sut.ac.ir

۲. گروه ریاضی، دانشکده علوم پایه مهندسی، دانشگاه صنعتی سهند تبریز، ایران. رایانامه: hajipour@sut.ac.ir

اطلاعات مقاله

چکیده

نوع مقاله: مقاله پژوهشی

در این مقاله برای حل یک مسأله مقدار مرزی برگرفته از معادله نفوذ کسری مرتبه-متغیر یک روش عددی با مرتبه دقت بالا طراحی و پیاده‌سازی شده است. این معادله حاوی یک مشتق کسری با مرتبه متغیر نسبت به زمان و یک مشتق صحیح مرتبه دوم نسبت به مکان است. برای ساختن این روش جدید، از یک فرمول تفاضلات متناهی فشرده برای گسسته‌سازی مکانی و از یک فرمول گرانوآلد-لتنیکوف انتقال‌یافته وزن‌دار برای گسسته‌سازی زمانی استفاده شده است. نشان داده شده است که این روش نسبت به مکان و زمان به ترتیب دارای نرخ همگرایی چهار و دو است. همچنین حل‌پذیری، پایداری و همگرایی روش ساخته شده بررسی شده است. به منظور نشان دادن کارایی و نرخ همگرایی بالای این روش، چند مثال عددی و برخی نتایج مقایسه‌ای ارائه شده است.

تاریخ دریافت: ۱۴۰۱/۰۸/۲۹

تاریخ بازنگری: ۱۴۰۲/۰۵/۲۸

تاریخ پذیرش: ۱۴۰۲/۰۷/۱۷

تاریخ انتشار: ۱۴۰۳/۰۳/۲۰

واژه‌های کلیدی:

مشتق کسری مرتبه-متغیر،

معادله نفوذ کسری

روش عددی.

استناد: خیرخواه، فرناز و حاجی پور، مجتبی؛ (۱۴۰۳). یک روش عددی دقیق برای حل مسأله نفوذ کسری مرتبه متغیر. پژوهش‌های ریاضی، ۱۰(۱)، ۵۱

– ۶۹



مقدمه

حسابان کسری حوزه‌ای در آنالیز ریاضی است که به بررسی و کاربرد انتگرال‌ها و مشتق‌هایی از مرتبه گویا، گنگ و یا حتی مختلط می‌پردازد. تعمیم مفهوم مرتبه مشتق به مقادیر غیر صحیح موجب شروع قضیه حساب دیفرانسیل کسری می‌شود. محققان نشان داده‌اند که ویژگی‌های مسائلی که به صورت غیرموضعی بیان می‌شوند را نمی‌توان به‌درستی با کمک مشتقات از مرتبه صحیح توصیف نمود. به‌علاوه در مقایسه با معادلات حاوی مشتقات یا انتگرال‌های مرتبه صحیح، بسیاری از پدیده‌های دنیای واقعی که رفتاری نامنظم و غیرموضعی دارند را با استفاده از عملگرهای کسری می‌توان بهتر توصیف کرد [۱]. مشتقات مرتبه کسری ویژگی حفظ تاریخچه و ذخیره حافظه را دارند، لذا به عنوان یک ابزار قدرتمند برای توصیف پدیده‌های غیرموضعی که حافظ تاریخچه هستند مورد توجه قرار گرفته است. با این حال نشان داده شده است که حافظه و غیرموضعی بودن رفتار یک سیستم ممکن است تحت تاثیر شرایط زمانی و مکانی تغییر نماید، لذا از مشتقات و انتگرال‌های کسری مرتبه-متغیر برای توصیف چنین پدیده‌هایی استفاده شده است. در مشتقات کسری مرتبه-متغیر، در هر لحظه از زمان و در هر نقطه از مکان دینامیک متفاوتی از سایر نقاط داریم و در عین حال این نقطه به نقاط قبلی خود نیز وابسته‌اند اما در مشتقات کسری مرتبه ثابت، مشتق در هر نقطه فقط به زمان‌های قبل وابسته است و دینامیک همه نقاط باهم برابر است. مشتقات کسری مرتبه-متغیر، یک توسعه از مشتقات کسری مرتبه-ثابت می‌باشند [۲]. مفهوم انتگرال و دیفرانسیل کسری مرتبه-متغیر برای اولین بار توسط سامکو و راس در [۳] معرفی شد. به‌علاوه برخی از عملگرهای مشتقات کسری مرتبه-متغیر و مطالعات تئوری آن‌ها توسط لنزو و هارتلی در [۴] بررسی شده است. ویژگی غیرموضعی بودن عملگرهای کسری مرتبه-متغیر هزینه محاسباتی را کاهش می‌دهد و دقت محاسباتی را نیز بهبود می‌بخشد. لذا توسعه روش‌های کارآمد برای حل سیستم‌های غیرخطی حاوی مشتقات کسری مرتبه-متغیر از قبیل مسأله نفوذ (انتشار)، مسأله کنترل بهینه و معادلات انتگرالی و دیفرانسیلی مطلوب است. مسأله نفوذ کسری مرتبه-متغیر به‌طور گسترده کاربردهای فراوانی در مدل سازی پدیده‌های متغیر در فیزیک، شیمی و علوم زیست پزشکی دارند [۵، ۶]. در مدل بندی پدیده‌های نامنظم مانند نفوذ، به دلیل این که پدیده نفوذ در هر لحظه دارای سرعت یکنواختی نیست یا به‌عبارت بهتر دینامیک در هر لحظه از زمان با سایر زمان‌ها متفاوت است لذا مشتقات کسری مرتبه متغیر چنین پدیده‌هایی را بهتر توصیف می‌کنند. در [۶]، نشان داده شده است که جواب یک مسأله نفوذ کسری با مرتبه-متغیر، در مقایسه با مدل کسری مرتبه-ثابت و مرتبه صحیح متناظرش، تطابق بیشتری با نتایج حاصل از داده‌های آزمایشگاهی دارد؛ و بیانگر این مهم است که پدیده فیزیکی ارائه شده با استفاده از مشتقات کسری مرتبه-متغیر بطور دقیق‌تری توصیف می‌شود. حل تحلیلی معادلات نفوذ کسری مرتبه-متغیر به دلیل پیچیدگی بسیار دشوار و حتی در برخی موارد غیرممکن می‌باشد. تا حدی که در دهه‌های گذشته یکی از دغدغه‌های اساسی دانشمندان، توسعه برخی روش‌های تقریبی برای حل این نوع از معادلات بوده است [۷]. در [۸]، برخی روش‌های تفاضل متناهی برای حل مسأله نفوذ کسری از مرتبه $\alpha(x, t)$ معرفی شده است. در [۹، ۱۰]، یک روش عددی کارا برای حل معادلات زیر انتشار غیرعادی مرتبه-متغیر ارائه شده است. همچنین در [۱۱] برخی از روش‌ها از مرتبه $O(\tau^p + h^q)$ برای حل معادله واکنش-زیرانتشار غیرخطی مرتبه-متغیر به دست آمده است که در آن τ گام زمانی و h گام مکانی می‌باشند. در [۱۲] یک روش عددی کارا و از مرتبه $O(\tau^3 + h^4)$ برای حل مسأله نفوذ کسری مرتبه-متغیر

ارائه شده است که برای رسیدن به مرتبه دقت سه نسبت به زمان، باید تابع جواب و همچنین مشتقات مرتبه اول، دوم و سوم آن در نقطه شروع مقدار صفر را داشته باشند. در [۱۷] و [۱۸] با استفاده از موجک‌ها برخی روش‌های کارا برای حل مسأله موردنظر نیز ارائه شده است. اخیراً در [۱۹] یک روش عددی با کمک روش‌های بدون شبکه برای حل یک مسأله نفوذ کسری مرتبه-متغیر سه‌بعدی ارائه شده است.

هدف اصلی این مقاله ارائه یک روش عددی کارا بر اساس عملگر گرانوالد-لتنیکوف انتقال یافته وزن دار و یک عملگر تفاضل متناهی فشرده برای حل مسأله مقدار مرزی مبتنی بر معادله نفوذ کسری-زمانی از مرتبه $\alpha(x, t)$ زیر می‌باشد

$$\begin{cases} {}^C D_t^{\alpha(x,t)} u(x, t) = \sigma u_{xx}(x, t) + F(u(x, t), x, t), & t > 0, x \in (0, L), \\ u(x, 0) = 0, & 0 \leq x \leq L, \\ u(0, t) = \psi_0(t), \quad u(L, t) = \psi_L(t), & t \geq 0, \end{cases} \quad (1)$$

که در آن $0 < \alpha(x, t) < 1$ ضریب نفوذ و تابع F جمله واکنش می‌باشند. همچنین عبارت ${}^C D_t^{\alpha(x,t)} u(x, t)$ نشان‌دهنده مشتق کسری کاپوتوی از مرتبه-متغیر $\alpha(x, t)$ برای تابع $u(x, t)$ است که به صورت زیر تعریف می‌شود

$${}^C D_t^{\alpha(x,t)} u(x, t) := \frac{1}{\Gamma(1-\alpha(x,t))} \int_0^t (t-\eta)^{-\alpha(x,t)} \frac{\partial u(x, \eta)}{\partial \eta} d\eta. \quad (2)$$

برای این منظور ابتدا یک فرمول تقریبی مبتنی بر عملگر گرانوالد-لتنیکوف انتقال یافته وزن دار را برای گسسته‌سازی زمانی مسأله نفوذ کسری معرفی می‌کنیم. سپس نشان داده می‌شود که فرمول تقریبی حاصل دارای نرخ همگرایی دو برای گسسته‌سازی مشتق کسری مرتبه-متغیر (۲) است. سپس برای گسسته‌سازی مکانی مسأله داده شده از یک فرمول تفاضل متناهی فشرده مرتبه چهارم بهره می‌بریم. همچنین پایداری و آنالیز همگرایی روش پیشنهادی را برای همه مقادیر $0 < \alpha(x, t) < 1$ بررسی می‌کنیم. به علاوه نشان می‌دهیم که این روش دارای نرخ همگرایی $\mathcal{O}(\tau^p + h^k)$ برای حل عددی مسأله نفوذ کسری می‌باشد. در نهایت برای تأیید نرخ همگرایی و کارایی روش پیشنهادی، برخی مثال‌های عددی ارائه شده و با سایر روش‌ها نیز مقایسه شده است.

۱. یک فرمول تقریبی مبتنی بر عملگر گرانوالد-لتنیکوف انتقال یافته وزن دار

در این بخش، ابتدا تعاریف مشتقات کسری مرتبه-متغیر ریمان-لیوویل و کاپوتو را بیان می‌کنیم [۱۳].

تعریف ۱. فرض کنید $0 < \alpha(x, t) < 1$ ، در این صورت مشتق کسری چپ ریمان-لیوویل از مرتبه $\alpha(x, t)$ تابع $u(x, t)$ به صورت زیر تعریف می‌شود

$${}^{RL} D_t^{\alpha(x,t)} u(x, t) := \left[\frac{1}{\Gamma(1-\alpha(x, \xi))} \frac{\partial}{\partial \xi} \int_0^\xi \frac{u(x, \eta)}{(\xi-\eta)^{\alpha(x,t)}} d\eta \right]_{\xi=t}, \quad (3)$$

که در آن $\Gamma(\cdot)$ نشان دهنده تابع گاما، $\underline{\alpha} := \inf_{x \in \Omega, t \geq \bullet} \{\alpha(x, t)\}$ و $\bar{\alpha} := \sup_{x \in \Omega, t \geq \bullet} \{\alpha(x, t)\}$

با استفاده از انتگرال گیری جزء به جزء، برای بین مشتق کسری کاپوتو و ریمان-لیوویل مرتبه $\alpha(x, t)$ داریم [۱۳]

$${}^{\text{RL}}\mathcal{D}_t^{\alpha(x,t)}(u(x, t) - u(x, \bullet)) = {}^{\text{C}}\mathcal{D}_t^{\alpha(x,t)}u(x, t). \quad (۴)$$

تعریف ۲. متناظر با مشتق کسری مرتبه متغیر ریمان-لیوویل مرتبه $\alpha(x, t)$ ، عملگر دیفرانسیلی گرانوالد-لتنیکوف انتقال یافته را به صورت زیر تعریف می‌کنیم [۹]

$$\Lambda_{\tau, p}^{\alpha(x,t)}u(x, t) := \left[\tau^{-\alpha(x, \xi)} \sum_{k=0}^{[\frac{\xi}{\tau}] + p} w_k^{(\alpha(x, t))} u(x, \xi - (k-p)\tau) \right]_{\xi=t}, \quad (۵)$$

که در آن p یک عدد صحیح، $w_k^{(\alpha(x, t))} := (-1)^k \binom{\alpha(x, t)}{k}$ و τ طول گام زمانی می‌باشد. به راحتی دیده می‌شود که

ضرایب $w_k^{(\alpha(x, t))}$ ضرایب سری توانی $(1-z)^{\alpha(x, t)} = \sum_{k=0}^{\infty} w_k^{(\alpha(x, t))} z^k$ می‌باشند و با کمک فرمول بازگشتی زیر نیز محاسبه می‌شوند

$$w_k^{(\alpha(x, t))} = \left(1 - \frac{\alpha(x, t) + 1}{k}\right) w_{k-1}^{(\alpha(x, t))}, \quad k = 1, 2, \dots, \quad (۶)$$

که در آن $w_0^{(\alpha(x, t))} = 1$

نشان داده می‌شود که اگر $0 < \alpha(x, t) < 1$ ، آن‌گاه ویژگی‌های زیر برای ضرایب $w_k^{(\alpha(x, t))}$ برقرار است [۱۴]

$$\begin{aligned} (۱) \quad w_1^{(\alpha(x, t))} &= -\alpha(x, t), \quad w_k^{(\alpha(x, t))} < 0, \quad k \geq 2, & (۲) \quad \sum_{k=0}^{\infty} w_k^{(\alpha(x, t))} &= 0, \\ (۳) \quad \left| w_{k+1}^{(\alpha(x, t))} \right| &< \left| w_k^{(\alpha(x, t))} \right| < \bar{\alpha}, \quad k \geq 1, & (۴) \quad - \sum_{k=1}^n w_k^{(\alpha(x, t))} &< 1, \quad \forall n \geq 1. \end{aligned}$$

در ادامه یک عملگر گرانوالد-لتنیکوف انتقال یافته وزن دار که برای تقریب مشتق کسری ریمان-لیوویل مرتبه متغیر از اهمیت ویژه‌ای برخوردار است را معرفی می‌کنیم.

تعریف ۳. عملگر گرانوالد-لتنیکوف انتقال یافته وزن دار متناظر با مشتق کسری ریمان-لیوویل مرتبه $0 < \alpha(x, t) < 1$ را به صورت زیر معرفی می‌کنیم

$$\Delta_{\tau}^{\alpha(x,t)}u(x, t) := \left(1 + \frac{\alpha(x, t)}{p}\right) \Lambda_{\tau, \bullet}^{\alpha(x,t)}u(x, t) - \frac{\alpha(x, t)}{p} \Lambda_{\tau, -1}^{\alpha(x,t)}u(x, t), \quad (۷)$$

در این صورت می‌توان نوشت

$$\begin{aligned} \Delta_{\tau}^{\alpha(x,t)} u(x,t) &= \tau^{-\alpha(x,t)} \left[\left(1 + \frac{\alpha(x,t)}{\nu}\right) \sum_{k=0}^{\lfloor \frac{t}{\tau} \rfloor} w_k^{(\alpha(x,t))} u(x,t-k\tau) \right. \\ &\quad \left. - \frac{\alpha(x,t)}{\nu} \sum_{k=0}^{\lfloor \frac{t}{\tau} \rfloor - 1} w_k^{(\alpha(x,t))} u(x,t-(k+1)\tau) \right] \\ &= \tau^{-\alpha(x,t)} \sum_{k=0}^{\lfloor \frac{t}{\tau} \rfloor} g_k^{(\alpha(x,t))} u(x,t-k\tau), \end{aligned} \quad (8)$$

که در آن ضرایب $g_k^{(\alpha(x,t))}$ به صورت زیر محاسبه می‌شوند

$$\begin{cases} g_0^{(\alpha(x,t))} = \left(1 + \frac{\alpha(x,t)}{\nu}\right) w_0^{(\alpha(x,t))}, \\ g_k^{(\alpha(x,t))} = \left(1 + \frac{\alpha(x,t)}{\nu}\right) w_k^{(\alpha(x,t))} - \frac{\alpha(x,t)}{\nu} w_{k-1}^{(\alpha(x,t))}, \quad k = 1, 2, \dots, \end{cases} \quad (9)$$

با کمک ویژگی‌های $w_k^{(\alpha(x,t))}$ و لم ۴-۲ در [۶]، می‌توان ویژگی‌های زیر را برای ضرایب $g_k^{(\alpha(x,t))}$ به دست آورد.

لم ۲-۱. اگر $0 < \alpha(x,t) < 1$ ، آن‌گاه ضرایب $\{g_k^{(\alpha(x,t))}\}$ دارای ویژگی‌های زیر می‌باشند

$$\begin{aligned} (1) \quad & g_0^{(\alpha(x,t))} = 1 + \frac{\alpha(x,t)}{\nu} > 0, \quad g_k < 0, \quad k \geq 1, \\ (2) \quad & \sum_{k=0}^{\infty} g_k^{(\alpha(x,t))} = 0, \\ (3) \quad & \left| g_k^{(\alpha(x,t))} \right| \leq \frac{\alpha(x,t)}{\nu} \left| w_{k-1}^{(\alpha(x,t))} \right| + \left(1 + \frac{\alpha(x,t)}{\nu}\right) \left| w_k^{(\alpha(x,t))} \right| < \nu, \quad k \geq 1, \\ (4) \quad & - \sum_{k=1}^n g_k^{(\alpha(x,t))} < g_0^{(\alpha(x,t))} = 1 + \frac{\alpha(x,t)}{\nu}, \end{aligned}$$

برهان. با کمک بسط دو جمله‌ای اثبات به سادگی انجام می‌شود. \square

یک شبکه از نقاط روی $[0, L] \times [0, T]$ به صورت زیر در نظر بگیرید

$$\mathcal{M} := \{(x_i = ih, t_n = n\tau) \mid n = 0, \dots, N+1, i = 0, \dots, M+1\}, \quad (10)$$

که در آن $h = L/(M+1)$ و $\tau = T/(N+1)$ به ترتیب گام‌های مکانی و زمانی هستند. بنابراین متناظر با عملگر گرناولد-لتنیکوف وزن دار انتقال یافته (۸)، می‌توان یک فرمول تقریبی برای گسسته‌سازی مشتق کسری مرتبه-متغیر (۳) به صورت زیر ارائه نمود

$$\Delta_{\tau}^{\alpha_i^n} u(x_i, t_n) := \frac{1}{\tau^{\alpha_i^n}} \sum_{k=0}^n g_k^{(\alpha_i^n)} u(x_i, t_n - k\tau), \quad (11)$$

که در آن $\alpha_i^n = \alpha(x_i, t_n)$ در ادامه نشان داده می‌شود که اگر $u(x, \bullet) = \bullet$ آنگاه فرمول تقریبی (۱۱) از مرتبه دقت دو برای مشتق کسری مرتبه متغیر (۲) است.

لم ۲-۲. فرض کنید $1, \bullet < \alpha(x, t) < 1$ و $i^p = 1$ و

$$\sigma_p(z) = 1 - \left(\frac{1 - e^{-z}}{z} \right)^\alpha \left(1 + \frac{\alpha}{p} - \frac{\alpha}{p} e^{-z} \right) = \left(\frac{5}{14} \alpha + \frac{1}{8} \alpha^p \right) z^p + \mathcal{O}(z^p).$$

در این صورت عدد ثابت C_p موجود است به طوری که برای هر $z \in \mathbb{R}$ داریم

$$|\sigma_p(iz)| \leq C_p |z|^p.$$

برهان. فرض کنید $R > \bullet$ شعاع همگرایی مطلق سری توانی $\sigma_p(z) = \sum_{l=0}^{\infty} a_l z^l$ باشد، یعنی این سری توانی به ازای هر

$|z| \leq R$ به طور مطلق همگراست. به راحتی دیده می‌شود که $a_0 = a_1 = \bullet$ در این صورت به ازای هر $|z| \leq R$ داریم

$$|\sigma_p(iz)| = \left| \sum_{l=0}^{\infty} a_l (iz)^l \right| = |z|^p \left| \sum_{l=p}^{\infty} a_l (iz)^l \right| \leq |z|^p \frac{1}{R^p} \sum_{l=0}^{\infty} a_l R^l.$$

بعلاوه اگر $|z| > R$ ، آنگاه $\left| \frac{1}{z} \right| < \frac{1}{R}$ همچنین چون برای هر $z \in \mathbb{R}$ همواره رابطه $|e^{-iz}| \leq 1$ برقرار است خواهیم

داشت

$$\begin{aligned} |\sigma_p(iz)| &= \left| 1 - \left(\frac{1 - e^{-iz}}{iz} \right)^\alpha \left(1 + \frac{\alpha}{p} - \frac{\alpha}{p} e^{-iz} \right) \right| \leq \left(1 + (1 + \alpha) \left(\frac{p}{R} \right)^\alpha \right) \frac{|z|^p}{|z|^p} \\ &\leq \left(1 + (1 + \alpha) \left(\frac{p}{R} \right)^\alpha \right) \frac{1}{R^p} |z|^p. \end{aligned}$$

در این صورت اگر قرار دهیم

$$C_p = \max \left\{ \frac{1}{R^p} (1 + \left(\frac{p}{R} \right)^\alpha (1 + \alpha)), \frac{1}{R^p} \sum_{l=0}^{\infty} a_l R^l \right\},$$

□

آنگاه حکم برقرار است.

لم ۲-۳. فرض کنید $u(x, t)$ ، ${}^{\text{RL}}\mathcal{D}_t^{\alpha(x,t)+p}u(x, t)$ و ${}^{\text{RL}}\mathcal{D}_t^{\alpha(x,t)+p}u(x, t)$ متعلق به فضای $L_1(\mathbb{C})$ باشند. در این صورت برای $0 < \alpha(x, t) < 1$ و $t > 0$ داریم

$$\Delta_\tau^{\alpha_i^n} u(x_i, t_n) = {}^{\text{RL}}\mathcal{D}_t^{\alpha_i^n} u(x_i, t_n) + \mathcal{O}(\tau^p), \quad \tau \rightarrow 0. \quad (12)$$

برهان. بدون این که خللی به کلیت مسئله وارد شود، فرض کنید برای هر $t < 0$ داریم $u(x, t) \equiv 0$. در این صورت داریم

$${}^{\text{RL}}\mathcal{D}_t^{\alpha(x,t)} u(x, t) = {}^{\text{RL}}\mathcal{D}_t^{\alpha(x,t)} u(x, t)$$

$$\mathcal{F}[u(x_i, t - k\tau)](\omega) = e^{-ik\omega\tau} \hat{u}(x_i, \omega),$$

9

$$\mathcal{F}[{}^{\text{RL}}\mathcal{D}_\xi^{\alpha(x_i, t_n)} u(x_i, \xi)](\omega) = (\mathbf{i}\omega)^{\alpha(x_i, t_n)} \hat{u}(x_i, \omega).$$

با استفاده از تبدیل فوریه \mathcal{F} برای معادله (۷) داریم

$$\begin{aligned} \mathcal{F}[\Delta_\tau^{\alpha_i^n} u(x_i, \xi)](\omega) &= \tau^{-\alpha_i^n} (1 - e^{-\mathbf{i}\omega\tau})^{\alpha_i^n} \left((1 + \frac{\alpha_i^n}{p}) - \frac{\alpha_i^n}{p} e^{-\mathbf{i}\omega\tau} \right) \hat{u}(x_i, \omega) \\ &= \sigma_p(\mathbf{i}\omega\tau) (\mathbf{i}\omega)^{\alpha_i^n} \hat{u}(x_i, \omega), \end{aligned}$$

که در آن

$$\sigma_p(z) = \left(\frac{1 - e^{-z}}{z} \right)^{\alpha_i^n} \left((1 + \frac{\alpha_i^n}{p}) - \frac{\alpha_i^n}{p} e^{-z} \right) = 1 - \left(\frac{\alpha_i^n}{p} + \frac{1}{\mathbf{A}} (\alpha_i^n)^p \right) z^p + \mathcal{O}(z^3).$$

طبق لم ۲-۲ ثابت مثبت C_p وجود دارد به طوری که $|1 - \sigma_p(-iz)| \leq C_p |z|^p$. با استفاده از فرض قضیه و این که

$$\mathcal{F}[{}^{\text{RL}}\mathcal{D}_t^{\alpha(x,t)+p}u(x, t)]$$

$$\begin{aligned} G(x_i, \xi) &= |{}^{\text{RL}}\mathcal{D}_\xi^{\alpha(x_i, t_n)} u(x_i, \xi) - \Delta_\tau^{\alpha(x_i, t_n)} u(x_i, \xi)| \\ &= \left| \frac{1}{p\pi\mathbf{i}} \int_{-\infty}^{\infty} e^{-\mathbf{i}\omega\xi} (\mathcal{F}[{}^{\text{RL}}\mathcal{D}_\xi^{\alpha(x_i, t_n)} u(x_i, \xi)] - \Delta_\tau^{\alpha(x_i, t_n)} u(x_i, \xi))(\omega) d\omega \right| \\ &= \left| \frac{1}{p\pi\mathbf{i}} \int_{-\infty}^{\infty} e^{-\mathbf{i}\omega\xi} (1 - \sigma_p(\mathbf{i}\omega\tau)) (\mathbf{i}\omega)^{\alpha(x_i, t_n)} \hat{u}(x_i, \omega) d\omega \right| \\ &\leq |\tau|^p \frac{1}{p\pi} \int_{-\infty}^{\infty} |\omega|^{\alpha(x_i, t_n)+p} |\hat{u}(x_i, \omega)| d\omega \\ &\leq C_p |\tau|^p \left(\frac{1}{p\pi} \int_{-\infty}^{\infty} (1 + |\omega|)^{\bar{\alpha}+p} |\hat{u}(x_i, \omega)| d\omega \right) \leq \tilde{C} |\tau|^p, \end{aligned}$$

که در آن $\tilde{C} = \frac{C}{\nu\pi} \int_{-\infty}^{\infty} (1+|\omega|)^{\bar{\alpha}+\nu} |\hat{u}(x_i, \omega)| d\omega$ از آنجایی که عبارت $\tilde{C} |\tau|^\nu$ وابسته به ξ نیست، می‌توانیم

داشته باشیم $\max_{\xi \leq t_n} G(x_i, \xi) \leq \tilde{C} |\tau|^\nu$. به ویژه برای $\xi = t_n$ نتیجه می‌گیریم که

$$G(x_i, t_n) = \left| {}^{RL}D_t^{\alpha(x_i, t_n)} u(x_i, t_n) - \Delta_\tau^{\alpha(x_i, t_n)} u(x_i, t_n) \right| \leq \tilde{C} |\tau|^\nu.$$

نامساوی فوق منجر به نتیجه زیر می‌شود

$$\forall t \geq 0, \quad \left| {}^{RL}D_t^{\alpha(x_i, t_n)} u(x_i, t_n) - \Delta_\tau^{\alpha(x_i, t_n)} u(x_i, t) \right| \leq \tilde{C} |\tau|^\nu.$$

□

و لذا اثبات تمام است.

ملاحظه ۲-۴. با فرض برقرار مفروضات لم ۲-۳، اگر تابع u در شرایط $\bullet = \bullet$ در $\frac{\partial^k u(x, t)}{\partial t^k} \Big|_{t=0} = \bullet$ که $0 \leq k \leq \nu$ صدق کند.

آن‌گاه

$$\Delta_\tau^{\alpha_i^n} u(x_i, t_n) = {}^C D_t^{\alpha_i^n} u(x_i, t_n) + \mathcal{O}(\tau^\nu).$$

توجه شود که در سال‌های اخیر تعاریف متفاوتی از مشتق کسری مرتبه-متغیر در مفهوم ریمان-لیوویل و کاپوتو ارائه شده است که ممکن است شیوه گسسته‌سازی ارائه شده در فوق برای آن‌ها سازگار نباشد [۲]. همچنین حل مسائلی حاوی مشتق کسری مرتبه-متغیر از نوع مشتق داده شده در رابطه (۳) مورد توجه محققان زیادی قرار گرفته است و آن‌ها سازگاری این مشتق را از نقطه نظر فیزیکی با حل برخی مسائل واقعی همراه با داده‌های آزمایشگاهی تأیید نموده‌اند [۶].

۲. گسسته‌سازی مسأله نفوذ کسری مرتبه-متغیر

در این بخش یک روش عددی دقیق را برای حل مسأله نفوذ کسری مرتبه-متغیر زیر فرمول‌بندی می‌کنیم

$$\begin{cases} {}^C D_t^{\alpha(x, t)} u(x, t) = \kappa_1 u_{xx}(x, t) + \kappa_2 u(x, t) + f(x, t), & (x, t) \in (\bullet, L) \times (\bullet, T], \\ u(x, \bullet) = \bullet, & x \in (\bullet, L), \\ u(\bullet, t) = \psi_\bullet(t), & u(L, t) = \psi_L(t), \quad t \in [\bullet, T], \end{cases} \quad (13)$$

که در آن $0 < \alpha(x, t) < 1$ و κ_1, κ_2 مقادیر ثابت می‌باشند. توابع $f(x, t)$ ، $\psi_\bullet(t)$ و $\psi_L(t)$ به اندازه کافی هموار هستند به گونه‌ای که $\psi_\bullet(\bullet) = \bullet$ و $\psi_L(\bullet) = \bullet$. توجه داشته باشید که برای شرایط اولیه ناهمگن $u(x, \bullet) \equiv \varphi_\bullet(x)$ ، متغیر جدید $\tilde{u}(x, t) = u(x, t) - \varphi_\bullet(x)$ را برای ارائه روش پیشنهادی اعمال می‌کنیم.

یک شبکه یکنواخت از نقاط را به صورت (۱۰) روی دامنه $[0, L] \times [0, T]$ در نظر بگیرید. به علاوه فرض کنید U_i^n نشان‌دهنده مقدار تقریبی $u_i^n := u(x_i, t_n)$ باشد. حال برای تقریب مشتق مرتبه دوم مکانی $u_{xx}(x, t)$ ، از فرمول تفاضلات متناهی فشرده مرتبه چهارم زیر استفاده می‌کنیم [۱۴]

$$u_{xx}(x_i, t_n) = \frac{\delta_x^p}{h^p (1 + \frac{1}{1p} \delta_x^p)} u(x_i, t_n) + \frac{h^p}{\Gamma(1+p)} \frac{\partial^p}{\partial x^p} u(x_i, t_n) + \mathcal{O}(h^p), \quad (14)$$

که در آن $\mathcal{H}_x := 1 + \frac{1}{1p} \delta_x^p$ عملگر $\delta_x u(x_i, t_n) := u(x_i + \frac{h}{p}, t_n) - u(x_i - \frac{h}{p}, t_n)$ همچنین با به کارگیری عملگر $\Delta_\tau^{\alpha_i^n}$ در گسسته سازی مکانی و با استفاده از لم ۳ در [۷] می‌توان دقت مرتبه چهارم را به دست آورد. در این صورت با کمک فرمول (۱۴) برای گسسته‌سازی مکانی و همچنین عملگر گرناوالد-لنتیکوف انتقال یافته وزن دار مرتبه دوم $\Delta_\tau^{\alpha_i^n}$ داده شده در (۱۱) جهت گسسته‌سازی زمانی می‌توان فرم گسسته معادله نفوذ کسری-زمانی مرتبه-متغیر (۱۳) را به صورت زیر فرمول‌بندی نمود

$$\mathcal{H}_x (\Delta_\tau^{\alpha_i^n} u_i^n) = \frac{\kappa_1}{h^p} \delta_x^p u_i^n + \mathcal{H}_x (\kappa_p u_i^n + f_i^n) + R_i^n, \quad 1 \leq n \leq N+1, \quad 1 \leq i \leq M, \quad (15)$$

که در آن $f_i^n := f(x_i, t_n)$ در نتیجه با استفاده از (۱۴) و لم ۲-۳ خطای برشی موضعی در (x_i, t_n) از مرتبه $\mathcal{O}(\tau^p + h^p)$ به دست می‌آید، یعنی $|R_i^n| \leq C_0 (\tau^p + h^p)$. در نهایت یک روش عددی برای حل مسأله مقدار مرزی-اولیه کسری مرتبه-متغیر (۱۳) به صورت زیر به دست می‌آید

$$\begin{cases} \mathcal{H}_x (\tau^{-\alpha_i^n} \sum_{k=0}^n g_k^{(\alpha_i^n)} U_i^{n-k}) = \kappa_1 \frac{\delta_x^p}{h^p} U_i^n + \mathcal{H}_x (\kappa_p U_i^n + f_i^n), \quad 1 \leq n \leq N+1, \quad 1 \leq i \leq M, \\ U_i^0 = 0, \quad i = 0, 1, \dots, M+1, \\ U_0^n = \psi_0^n, \quad U_{M+1}^n = \psi_L^n, \quad n = 0, 1, \dots, N+1, \end{cases} \quad (16)$$

که در آن $\Psi_0^n := \psi_0(t_n)$ و $\Psi_L^n := \psi_L(t_n)$. بنابراین سیستم معادلات گسسته سازی شده (۱۶) یک روش تفاضلاتی ضمنی برای حل عددی مسأله (۱۳) ارائه می‌کند. فرض کنید فرم ماتریسی توابع شبکه‌ای به صورت $\mathbf{U}^n := [U_1^n, U_2^n, \dots, U_M^n]^T$ و $\mathbf{F}^n := [f_1^n, f_2^n, \dots, f_M^n]^T$ باشد. در این صورت فرم ماتریسی روش ارائه شده برای مسئله (۱۳) به صورت زیر می‌باشد

$$\begin{cases} \mathbf{U}^0 = [0, 0, \dots, 0]^T, \\ \mathbf{A}_\tau^n \mathbf{U}^n = -\mathbf{J} \sum_{k=1}^n \text{diag}(\mathbf{g}_{\tau, k}^{(\alpha^n)}) \mathbf{U}^{n-k} + \mathbf{B}^n, \quad n = 1, \dots, N+1, \end{cases} \quad (17)$$

که در آن $\mathbf{g}_{\tau,k}^{(\alpha^n)} = [\tau^{-\alpha_1^n} g_k^{(\alpha_1^n)}, \tau^{-\alpha_p^n} g_k^{(\alpha_p^n)}, \dots, \tau^{-\alpha_M^n} g_k^{(\alpha_M^n)}]^T$

$$\mathbf{A}_\tau^n = (\mathbf{J} \text{diag}(\mathbf{g}_{\tau,\circ}^{(\alpha^n)}) - \kappa_p) - \frac{\kappa_1}{h^p} \mathbf{J}_\circ, \quad (18)$$

و ماتریس‌های $\mathbf{J}_\circ := \text{tridiag}(1, -\nu, 1)$ و $\mathbf{J} := \text{tridiag}(\frac{1}{1p}, \frac{1\circ}{1p}, \frac{1}{1p})$ سه قطری هستند. همچنین

$$\begin{aligned} \mathbf{B}^n := & \mathbf{JF}^n + \left(\left(\frac{\kappa_1}{h^p} + \frac{\kappa_p}{1p} \right) \psi_\circ^n + \frac{1}{1p} (f_\circ^n - \Delta_\tau^{\alpha_\circ^n} \psi_\circ^n) \right) \mathbf{I}_1 \\ & + \left(\left(\frac{\kappa_1}{h^p} + \frac{\kappa_p}{1p} \right) \psi_L^n + \frac{1}{1p} (f_{M+1}^n - \Delta_\tau^{\alpha_{M+1}^n} \psi_L^n) \right) \mathbf{I}_M. \end{aligned} \quad (19)$$

به‌علاوه \mathbf{I}_i نشان دهنده یک بردار با M سطر می‌باشد که درایه i ام آن یک و بقیه درایه‌ها صفر می‌باشند. ضریب \mathbf{A}_τ^n یک ماتریس سه قطری و غالب قطری اکید می‌باشد. آنگاه برای هر n ، سیستم جبری (۱۷) یک سیستم جبری سه قطری می‌باشد در نتیجه این سیستم جبری به ازای هر $n \geq 1$ دارای جواب منحصر بفرد می‌باشد. آنالیز پایداری و همگرایی روش پیشنهادی (۱۷) برای مسأله کسری مرتبه-متغیر (۱۳) در ادامه بررسی خواهد شد. فرض کنید $\|\mathbf{A}\|$ مشخص کننده نرم L_p ماتریس \mathbf{A} باشد. با استفاده روش ارائه شده در صفحه ۱۵۴ در [۱۵]، مقادیر ویژه \mathbf{J}_\circ و \mathbf{J} به ترتیب به صورت زیر محاسبه می‌شوند

$$\begin{cases} \lambda_s^{\mathbf{J}_\circ} := -\nu \sin^p\left(\frac{s\pi}{p(M+1)}\right), & s = 1, p, \dots, M, \\ \lambda_s^{\mathbf{J}} := 1 - \frac{1}{p} \sin^p\left(\frac{s\pi}{p(M+1)}\right), & s = 1, p, \dots, M. \end{cases} \quad (20)$$

قضیه ۳-۱. (پایداری نامشروط) روش عددی (۱۷) برای حل مسأله نفوذ کسری مرتبه-متغیر (۱۳) پایدار نامشروط است

$$\text{مرگه} \kappa_p \leq \frac{\nu \kappa_1}{h^p}.$$

برهان. فرض کنید $\tilde{\mathbf{U}}^n$ جواب دستگاه معادلات زیر باشد

$$\begin{cases} \tilde{\mathbf{U}}^\circ = \Phi^\circ, \\ \mathbf{A}_\tau^n \tilde{\mathbf{U}}^n = -\mathbf{J} \sum_{k=1}^n \text{diag}(\mathbf{g}_{\tau,k}^{(\alpha^n)}) \tilde{\mathbf{U}}^{n-k} + \mathbf{B}^n, & n = 1, \dots, N+1, \end{cases} \quad (21)$$

که در آن $\Phi^\circ := [\phi_1, \phi_p, \dots, \phi_M]^T$. از آنجایی که \mathbf{A}_τ^n یک ماتریس سه قطری و غالب قطری است لذا معکوس پذیر می‌باشد. قرار می‌دهیم $\mathbf{E}^n := \tilde{\mathbf{U}}^n - \mathbf{U}^n - \Phi^\circ$. لذا با استفاده از روابط (۱۷) و (۲۱) می‌توانیم دستگاه معادلات خطای حاصل از روش عددی (۱۷) را به صورت زیر به دست آوریم

$$\mathbf{E}^n = -(\mathbf{A}_\tau^n)^{-1} \mathbf{J} \left(\sum_{k=1}^n \text{diag}(\mathbf{g}_{\tau,k}^{(\alpha^n)}) \right) \mathbf{E}^{n-k} + \sum_{k=1}^n \text{diag}(\mathbf{g}_{\tau,k}^{(\alpha^n)}) \Phi^\circ - \Phi^\circ, \quad n = 1, \dots, N+1 \quad (22)$$

که در آن $\mathbf{E}^\circ := [\bullet, \dots, \bullet]^T$. فرض کنید λ_s^n نشان دهنده S -امین مقدار ویژه ماتریس سه قطری \mathbf{A}_τ^n باشد، لذا با استفاده از قضیه دایره‌های گریشگورین ۱-۲-۷ در [۱۶] داریم

$$\begin{cases} \lambda_s^n \geq \left(\frac{1}{\nu} \left((1 + \frac{\alpha_s^n}{\nu}) \tau^{-\alpha_s^n} - \kappa_\nu \right) + \nu \frac{\kappa_1}{h^\nu} - \nu \left| \frac{1}{\nu} \left((1 + \frac{\alpha_s^n}{\nu}) \tau^{-\alpha_s^n} - \kappa_\nu \right) - \frac{\kappa_1}{h^\nu} \right| \right), \\ \lambda_s^n \leq \left(\frac{1}{\nu} \left((1 + \frac{\alpha_s^n}{\nu}) \tau^{-\alpha_s^n} - \kappa_\nu \right) + \nu \frac{\kappa_1}{h^\nu} + \nu \left| \frac{1}{\nu} \left((1 + \frac{\alpha_s^n}{\nu}) \tau^{-\alpha_s^n} - \kappa_\nu \right) - \frac{\kappa_1}{h^\nu} \right| \right), \end{cases} \quad (23)$$

که $s = 1, \dots, M$. با توجه به این که $\frac{\alpha(x,t)}{\nu} : \forall x, t \leq \frac{\mu}{\nu}$ ، اگر $\kappa_\nu \leq \frac{\nu \kappa_1}{h^\nu}$ آن گاه داریم

$$|\lambda_s^n| \geq \frac{\nu}{\mu} \tau^{-\alpha_s^n}, \quad s = 1, \nu, \dots, M. \quad (24)$$

در این صورت طبق (۲۴) و با استفاده از رابطه (۲۰) داریم

$$\|(\mathbf{A}_\tau^n)^{-1} \mathbf{J}\| \leq \frac{\mu}{\nu} \tau^{\alpha_s^n}, \quad s = 1, \nu, \dots, M, \quad (25)$$

که در آن $0 < \alpha_s^n < 1$. همچنین با استفاده از لم ۲-۱ داریم

$$\sum_{k=0}^n |g_k^{(\alpha_i^n)}| = g_0^{(\alpha_i^n)} - \sum_{k=1}^n g_k^{(\alpha_i^n)} < g_0^{(\alpha_i^n)} + g_0^{(\alpha_i^n)} = \alpha_i^n + \nu \leq \mu,$$

که در آن $i = 1, \nu, \dots, M$ و $n = 1, \nu, \dots, N$ فرض کنید S یک عدد صحیح باشد به طوری که

$$\|\text{diag}(\mathbf{g}_{\tau,k}^{(\alpha^n)})\| \leq \tau^{-\alpha_s^n} |g_k^{(\alpha_s^n)}|. \quad (26)$$

با به کار بردن معادلات (۲۵) و (۲۶) در معادله (۲۲) خواهیم داشت

$$\begin{aligned} \|\mathbf{E}^n\| &\leq \|(\mathbf{A}_\tau^n)^{-1} \mathbf{J}\| \left(\sum_{k=1}^n \|\text{diag}(\mathbf{g}_{\tau,k}^{(\alpha^n)})\| \|\mathbf{E}^{n-k}\| + \|\Phi^\circ\| \sum_{k=0}^n \|\text{diag}(\mathbf{g}_{\tau,k}^{(\alpha^n)})\| \right) + \|\Phi^\circ\| \\ &\leq \frac{\mu}{\nu} \sum_{k=1}^n |g_k^{(\alpha_s^n)}| \|\mathbf{E}^{n-k}\| + \frac{\mu}{\nu} \|\Phi^\circ\| \sum_{k=0}^n |g_k^{(\alpha_s^n)}| + \|\Phi^\circ\| \\ &\leq \frac{\mu}{\nu} \sum_{k=1}^n |g_k^{(\alpha_s^n)}| \|\mathbf{E}^{n-k}\| + \frac{11}{\nu} \|\Phi^\circ\| \leq \frac{\mu}{\nu} \sum_{k=0}^{n-1} |g_{n-k}^{(\alpha_s^n)}| \|\mathbf{E}^k\| + \frac{11}{\nu} \|\Phi^\circ\|. \end{aligned}$$

با استفاده از لم ۲-۱ برای هر $0 \leq k \leq n-1$ داریم $|g_{n-k}^{(\alpha_s^n)}| < \nu$. لذا داریم

$$\| \mathbf{E}^n \| \leq \mathfrak{w} \sum_{k=0}^{n-1} \| \mathbf{E}^k \| + \frac{\| \Phi^\circ \|}{\mathfrak{p}}.$$

با استفاده از نامساوی گرانوال داده شده در لم ۵-۱۳-۱۴، ثابت مثبت \tilde{C} مستقل از h و τ موجود است به طوری که

$$\| \mathbf{E}^n \| \leq \tilde{C} \| \Phi^\circ \|, \quad n = 1, \dots, N + 1. \quad (28)$$

در نتیجه روش گسسته سازی شده (۱۷) پایدار نامشروط می‌باشد. \square

قضیه ۳-۲. (نرخ همگرایی) فرض کنید $u(x, t) \in C_{x,t}^{\mathfrak{q}, \mathfrak{w}}([0, L] \times [0, T])$ جواب مسأله (۱۳) باشد و برای $k = 0, 1, \mathfrak{p}$ در شرط $\frac{\partial^k u(x, t)}{\partial t^k} \Big|_{t=0} = 0$ صدق کند. آنگاه جواب سیستم معادلات گسسته (۱۷) به $u(x, t)$ همگراست هرگاه $\tau, h \rightarrow 0$. به علاوه مرتبه همگرایی روش $\mathcal{O}(\tau^{\mathfrak{p}} + h^{\mathfrak{k}})$ می‌باشد.

برهان. قرار دهید $e_i^n := U_i^n - u_i^n$. با استفاده از معادلات (۱۳) و (۱۷)، معادله خطای روش به صورت زیر به دست می‌آید

$$\bar{\mathbf{E}}^n = -(\mathbf{A}_\tau)^{-1} \mathbf{J} \sum_{k=1}^n \text{diag}(\mathbf{g}_{\tau,k}^{(\alpha^n)}) \bar{\mathbf{E}}^{n-k} + (\mathbf{A}_\tau)^{-1} \mathbf{R}^n, \quad (29)$$

که در آن $\bar{\mathbf{E}}^n := [e_1^n, \dots, e_M^n]^T$ و $\bar{\mathbf{E}}^0 := [0, 0, \dots, 0]^T$. با استفاده از رابطه (۱۵) داریم $\mathbf{R}^n := [R_1^n, \dots, R_M^n]^T$. $R_i^n = \mathcal{O}(\tau^{\mathfrak{p}} + h^{\mathfrak{k}})$ آنگاه ثابت C_1 وجود دارد به طوری که $\| \mathbf{R}^n \| \leq C_1 (\tau^{\mathfrak{p}} + h^{\mathfrak{k}})$. با استفاده از معادلات (۲۴) - (۲۶)، لم ۲-۱ و نامساوی گرانوال برای (۲۹) داریم

$$\| \bar{\mathbf{E}}^n \| \leq C_1 \max\{\tau^{\bar{\alpha}}, \tau^{\alpha}\} \exp(\delta \bar{\alpha} n) (\tau^{\mathfrak{p}} + h^{\mathfrak{k}}) \leq \tilde{C}_1 \max\{\tau^{\bar{\alpha}}, \tau^{\alpha}\} (\tau^{\mathfrak{p}} + h^{\mathfrak{k}}).$$

که در آن $n = 1, \dots, N + 1$ و \tilde{C}_1 عددی مثبت است. لذا اثبات تمام است. \square

۳. مثال‌های عددی

در این بخش نتایج عددی حاصل از پیاده‌سازی روش پیشنهادی برای حل عددی مسأله نفوذ کسری-زمانی مرتبه-متغیر ارائه شده است. همچنین نتایج عددی حاصل از روش پیشنهادی با نتایج حاصل از روش‌های ارائه شده در [۱۷] و [۱۸] مقایسه شده است.

مثال ۱. مسأله نفوذ کسری مرتبه-متغیر همراه با شرایط اولیه، مرزی و جواب دقیق $u(x, t) = t^\beta \sin(\lambda x)$ و $\beta > 0$ زیر را روی $(x, t) \in [0, 1] \times [0, T]$ در نظر بگیرید

$$\begin{cases} {}^C D_t^{\alpha(x,t)} u(x, t) = u_{xx}(x, t) + \lambda^p u(x, t) + \frac{\Gamma(\beta+1)t^{\beta-\alpha}}{\Gamma(\beta-\alpha+1)} \sin(\lambda x), \\ u(x, 0) = 0, \quad 0 \leq x \leq L, \\ u(0, t) = 0, \quad u(L, t) = t^\beta \sin(\lambda L), \quad 0 \leq t \leq T. \end{cases} \quad (30)$$

برای مقادیر مختلف از طول گام‌های τ و h ، نتایج عددی روش (۱۷) شامل ماکزیمم خطا، نرخ همگرایی روش و زمان اجرای برنامه (بر حسب ثانیه) حل مسأله نفوذ-کسری (۳۰) در شکل ۱ و جدول‌های ۱-۴ در زمان $T = 1$ گزارش شده‌اند.

جدول ۱. به ازای تعداد نقاط مختلف N در جهت t ، ماکزیمم خطا، نرخ همگرایی زمانی و زمان اجرای برنامه (ثانیه) حاصل از روش پیشنهادی با $h = \frac{1}{100}$ برای حل مثال ۱ وقتی که جواب واقعی $u(x, t) = t^\beta \sqrt{t} \sin(\pi x)$ می‌باشد.

$N = \frac{1}{\tau}$	$\alpha(x, t) = \frac{\exp(-xt)}{300}$		$\alpha(x, t) = \frac{20 - (xt)^p}{500}$		$\alpha(x, t) = \frac{1 + \sin^p(100 \cdot xt)}{200}$		زمان (ثانیه)
	خطا	نرخ همگرایی	خطا	نرخ همگرایی	خطا	نرخ همگرایی	
۴	۹/۷۵e-۰۵	-	۰/۰۰۱۹	-	۲/۰۰۸e-۰۴	-	۰/۰۴
۸	۲/۵۰e-۰۵	۱/۹۶	۴/۷۹e-۰۴	۱/۹۹	۵/۲۲e-۰۵	۱/۹۴	۰/۱۳
۱۶	۶/۳۴e-۰۶	۱/۹۸	۱/۲۰e-۰۴	۱/۹۹	۱/۳۰e-۰۵	۱/۹۹	۰/۳۸
۳۲	۱/۶۰e-۰۶	۱/۹۹	۳/۰۰e-۰۵	۲/۰۰	۲/۹۴e-۰۶	۲/۱۵	۱/۴۰
۶۴	۴/۰۰e-۰۷	۲/۰۰	۷/۵۰e-۰۶	۲/۰۰	۶/۴۸e-۰۷	۲/۱۸	۵/۳۱
۱۲۸	۱/۰۰e-۰۷	۲/۰۰	۱/۸۷e-۰۶	۲/۰۰	۱/۵۲e-۰۷	۲/۰۹	۲۱/۰۱
۲۵۶	۲/۵۰e-۰۸	۲/۰۰	۴/۶۶e-۰۷	۲/۰۰	۳/۸۰e-۰۸	۲/۰۰	۸۰/۸۵

در اینجا مرتبه مشتقات کسری یعنی تابع $\alpha(x, t)$ به صورت زیر انتخاب شده است

$$\alpha(x, t) = 0.25, 0.5, \frac{e^{-xt}}{300}, \frac{20 - (xt)^p}{500}, \frac{1 + \sin^p(100 \cdot xt)}{200}. \quad (31)$$

طبق قضیه ۳-۱، روش پیشنهادی (۱۷) بدون هیچ شرطی پایدار است. همانطور که جدول ۱ نشان می‌دهد روش پیشنهادی نسبت به زمان دارای نرخ همگرایی $O(\tau^p)$ است و جدول ۲ نشان می‌دهد که این روش نسبت به مکان از نرخ همگرایی $O(h^k)$ بهره‌مند می‌باشد و مطابق با نتایج تئوری ارائه شده در قضیه ۳-۲ است.

جدول ۲. به ازای تعداد نقاط مختلف M در جهت x ، ماکزیمم خطا، نرخ همگرایی مکانی و زمان اجرای برنامه (ثانیه) حاصل از روش پیشنهادی با $\tau = \frac{1}{۲۰۰۰}$ برای حل مثال ۱ وقتی که جواب واقعی $u(x,t) = t^p \sqrt{t} \sin(p\pi x)$ می‌باشد.

$M = \frac{1}{h}$	$\alpha(x,t) = \frac{\exp(-xt)}{۳۰۰}$		$\alpha(x,t) = \frac{۲۰ - (xt)^p}{۵۰۰}$		$\alpha(x,t) = \frac{1 + \sin^p(1۰۰xt)}{۲۰۰}$		زمان
	خطا	نرخ همگرایی	خطا	نرخ همگرایی	خطا	نرخ همگرایی	(ثانیه)
۱۶	۰/۰۰۳۹	-	۰/۰۰۳۸	-	۰/۰۰۳۹	-	۴۰/۴۲
۳۲	۲/۴۴e-۰۴	۴/۰۰	۲/۳۴e-۰۴	۴/۰۱	۲/۴۴e-۰۴	۳/۹۹	۴۷/۰۱
۶۴	۱/۵۲e-۰۵	۴/۰۵	۱/۴۶e-۰۵	۴/۰۰	۱/۵۳e-۰۵	۴/۰۰	۸۰/۲۳
۱۲۸	۹/۴۹e-۰۷	۳/۹۹	۹/۲۲e-۰۷	۳/۹۸	۹/۵۳e-۰۷	۳/۹۹	۱۹۸/۲۱
۲۵۶	۵/۹۰e-۰۸	۳/۹۹	۵/۷۵e-۰۸	۴/۰۰	۵/۹۳e-۰۸	۴/۰۰	۱۰۵/۵۰

به منظور مقایسه کارایی و دقت بالای روش ارائه شده، نتایج عددی حاصل از این روش و دو روش عددی داده شده در [۱۷] و [۱۸]، برای حل مسأله نفوذ-کسری (۳۰)، در جدول ۳ گزارش شده است. این جدول نشان می‌دهد که روش پیشنهادی نسبت به دو روش داده شده در [۱۷] و [۱۸] دقیق‌تر است. نتایج عددی حاصل از روش پیشنهادی برای حل مسأله (۳۰)، هنگامی که $\beta = \frac{1}{p}$ ، $\beta = \frac{D}{L}$ و $\beta = \frac{V}{L}$ ، در جدول ۳ گزارش شده است که در آن طول گام‌های مکانی و زمانی به صورت $h = \frac{1}{۴۰۰}$ و $\tau = \frac{1}{۴۰}$ ، $\frac{1}{۸۰}$ ، $\frac{1}{۱۶۰}$ انتخاب شده‌اند.

جدول ۳. مقایسه ماکزیمم خطای حاصل از روش‌های ارائه شده در [۱۷]، [۱۸] و روش پیشنهادی برای حل مثال ۱ وقتی که جواب واقعی تابع $u(x,t) = t^p \sin(p\pi x)$ است.

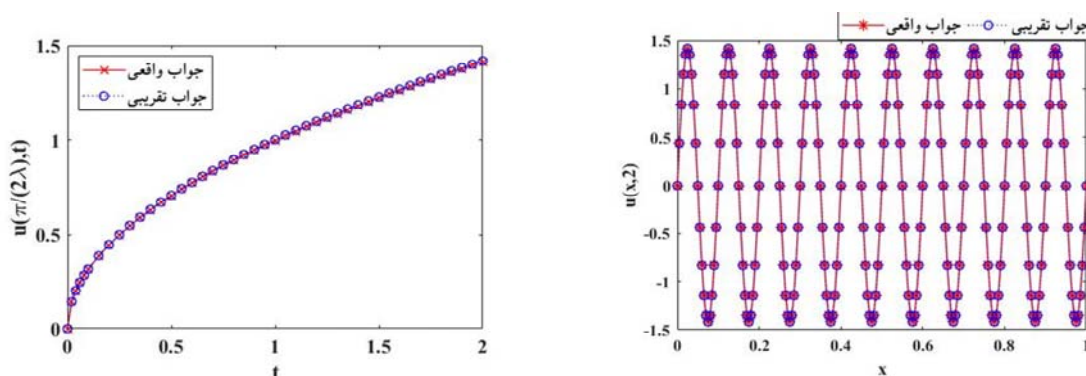
$\alpha(x,t)$	روش پیشنهادی ($\tau = \frac{1}{۲۰۰۰}$, $h = \frac{1}{۵۰۰}$)	روش ارائه شده در [۱۷] ($K = 1, M_1 = 7$)	روش ارائه شده در [۱۸] ($\hat{m} = 30, k = 1, M = 15$)
۰/۲۵	۴/۸۳e-۰۸	۶/۶۳e-۰۶	۲/۴۵e-۰۳
۰/۵	۴/۶۳e-۰۸	۶/۶۱e-۰۶	۲/۴۶e-۰۳
$\alpha(x,t) = \frac{۲۰ - (xt)^p}{۵۰۰}$	۵/۷۵e-۰۸	۶/۶۴e-۰۶	-

جدول ۴. به ازای $N = 40, 80, 140$ ، ماکزیمم خطا، نرخ همگرایی زمانی و زمان اجرای برنامه (ثانیه) حاصل از روش پیشنهادی با $h = \frac{1}{1400}$ برای حل مثال ۱ وقتی که جواب واقعی $u(x, t) = t^\beta \sin(2\pi x)$ و $0 < \beta < 2$ می‌باشد.

	زمان	$\alpha(x, t) = \frac{1 + \sin^p(100xt)}{200}$		$\alpha(x, t) = \frac{20 - (xt)^p}{500}$		$\alpha(x, t) = \frac{\exp(-xt)}{300}$	
		خطا	نرخ همگرایی	خطا	نرخ همگرایی	خطا	نرخ همگرایی
β	$N = \frac{1}{\tau}$						
$\frac{1}{p}$	40	۲/۴۲e-۰۴	-	۰/۰۰۳	-	۰/۰۰۱۲	-
	80	۱/۷۲e-۰۴	۰/۴۹	۰/۰۰۲۱	۰/۵۱	۶/۵۱e-۰۴	۰/۸۸
	140	۱/۰۰e-۰۴	۰/۷۸	۰/۰۰۱۱	۰/۹۳	۳/۱۹e-۰۴	۱/۰۴
$\frac{5}{4}$	40	۲/۳۶e-۰۶	-	۲/۶۳e-۰۵	-	۱/۰۸e-۰۵	-
	80	۹/۹۸e-۰۷	۱/۲۴	۱/۱۱e-۰۵	۱/۲۵	۳/۶۸e-۰۶	۱/۵۶
	140	۲/۸۵e-۰۷	۱/۸۱	۳/۲۹e-۰۶	۱/۷۵	۱/۰۸e-۰۶	۱/۷۷
$\frac{7}{4}$	40	۱/۶۵e-۰۶	-	۱/۹۹e-۰۵	-	۶/۸۳e-۰۶	-
	80	۴/۹۳e-۰۷	۱/۷۴	۵/۹۳e-۰۶	۱/۷۵	۴/۸۸e-۰۶	۱/۸۷
	140	۱/۳۷e-۰۷	۱/۸۴	۱/۷۶e-۰۶	۱/۷۵	۴/۶۸e-۰۷	۱/۹۹

همانطور که این جدول نشان می‌دهد با افزایش تعداد نقاط گرهی نسبت به زمان یعنی N ، روش پیشنهادی برای $\beta = \frac{5}{4}, \frac{7}{4}$ نرخ همگرایی $O(\tau^p)$ را در جهت زمان به دست می‌آورد. در حالی که برای $\beta = \frac{1}{p}$ ، این روش نرخ همگرایی مطلوب خود را از دست می‌دهد، این امر ناقص کارایی روش نیست زیرا جواب واقعی، برای $0 < \beta < 1$ در $t = 0$ مشتق پذیر نیست و لذا در شرایط داده شده در قضیه ۳-۲ نیز صدق نمی‌کند. با این حال، جواب تقریبی این روش تطابق بسیار مناسبی با جواب واقعی مسأله دارد.

همچنین برای $\alpha(x, t) = \frac{1}{p00}(1 + \sin^p(100xt))$ ، جواب واقعی و جواب تقریبی مسأله (۳۰) حاصل از روش پیشنهادی با $M = 1400$ و $N = 500$ در زمان $T = 2$ در شکل ۱ مقایسه شده‌اند. این شکل نشان می‌دهد که روش پیشنهادی وقتی که جواب واقعی یک تابع نوسانی نسبت به x و همچنین تابعی ناهموار نسبت به t به فرم $u(x, t) = \sqrt{t} \sin(20\pi x)$ است نیز موفق است، به علاوه در این حالت ماکزیمم خطای روش از مرتبه 10^{-4} است.



$$u(x = \frac{\pi}{2\lambda}, t) \text{ جواب (ب)}$$

$$u(x, T = 2) \text{ جواب (الف)}$$

شکل ۱. برای $\alpha(x, t) = \frac{1}{100}(1 + \sin^p(100 \cdot x t))$ ، جواب واقعی و جواب تقریبی مسئله (۳۰) حاصل از روش پیشنهادی با $M = 1400$ و $N = 500$ در زمان $T = 2$ وقتی که جواب به فرم $u(x, t) = \sqrt{t} \sin(\lambda x)$ و $\lambda = 20\pi$ است، به علاوه ماکزیمم خطای روش از مرتبه 10^{-4} است.

۴. نتیجه‌گیری

در این مقاله یک روش سریع و با نرخ همگرایی بالا برای حل عددی مسئله نفوذ-کسری مرتبه-متغیر از مرتبه $\alpha(x, t)$ ارائه شده است. برای گسسته‌سازی این مسئله، از یک فرمول تفاضلات متناهی فشرده برای گسسته‌سازی مکانی و از یک عملگر گرانوالد-لتنیکوف انتقال‌یافته وزن‌دار برای گسسته‌سازی زمانی استفاده شده است. روش پیشنهادی پایدار نامشروط است و دارای نرخ همگرایی دو نسبت به زمان و نرخ همگرایی چهار نسبت به مکان می‌باشد. طبق نتایج مقایسه‌ای گزارش شده، روش پیشنهادی نسبت به برخی روش‌های موجود دقیق‌تر است.

References

1. D. Baleanu, K. Diethelm, E. Scalas, and J. J. Trujillo. Fractional calculus: models and numerical methods, vol 3. World Scientific, 2012.
2. R. Almeida, D. Tavares, and D. F. Torres. The variable-order fractional calculus of variations. Springer, 2019.
3. S. G. Samko and B. Ross, Integration and differentiation to a variable fractional order, Integral transforms and special functions, **1** (1993), 277–300.
4. C. F. Lorenzo and T. T. Hartley, Variable order and distributed order fractional operators, Nonlinear dynamics, **29** (2002), 57–98.
5. M. A. Zaky, A legendre spectral quadrature tau method for the multi-term time-fractional diffusion equations, Computational and Applied Mathematics, **37** (2018), 3525–3538.

6. M. Hajipour, A. Jajarmi, D. Baleanu, and H. Sun, On an accurate discretization of a variable-order fractional reaction-diffusion equation, *Communications in Nonlinear Science and Numerical Simulation*, **69** (2019), 119–133.
7. J. Cao, Y. Qiu, and G. Song, A compact finite difference scheme for variable order subdiffusion equation, *Communications in Nonlinear Science and Numerical Simulation*, **48** (2017), 140–149.
8. R. Lin, F. Liu, V. Anh, and I. Turner, Stability and convergence of a new explicit finite-difference approximation for the variable-order nonlinear fractional diffusion equation, *Applied Mathematics and Computation*, **212** (2009), 435–445.
9. C.-M. Chen, F. Liu, V. Anh, and I. Turner, Numerical schemes with high spatial accuracy for a variable-order anomalous subdiffusion equation, *SIAM Journal on Scientific Computing*, **32** (2010), 1740–1760.
10. C.-M. Chen, F. Liu, V. Anh, and I. Turner, Numerical simulation for the variable-order galilei invariant advection-diffusion equation with a nonlinear source term, *Applied Mathematics and Computation*, **217** (2011), 5729–5742.
11. S. Shen, F. Liu, J. Chen, I. Turner, and V. Anh, Numerical techniques for the variable order time fractional diffusion equation, *Applied Mathematics and Computation*, **218** (2012), 10861–10870.
12. F. Kheirikhah, M. Hajipour, and D. Baleanu, The performance of a numerical scheme on the variable-order time-fractional advection-reaction-subdiffusion equations, *Applied Numerical Mathematics*, **178** (2022), 25–40.
13. P. Zhuang, F. Liu, V. Anh, and I. Turner, Numerical methods for the variable-order fractional advection-diffusion equation with a nonlinear source term, *SIAM Journal on Numerical Analysis*, **47** (2009), 1760–1781.
14. C. Li and F. Zeng, *Numerical methods for fractional calculus*, 24. Chapman and Hall/CRC Press, 2015.
15. G. D. Smith, G. D. Smith, and G. D. S. Smith. *Numerical solution of partial differential equations: finite difference methods*. Oxford university press, 1985.
16. G. H. Golub and C. F. Van Loan. *Matrix computations*. Johns Hopkins University press, 2013.
17. H. Dehestani, Y. Ordokhani, and M. Razzaghi, A novel direct method based on the lucas multiwavelet functions for variable-order fractional reaction-diffusion and subdiffusion equations, *Numerical Linear Algebra with Applications*, **28** (2021), 2346.
18. M. Heydari, Wavelets galerkin method for the fractional subdiffusion equation, *Journal of Computational and Nonlinear Dynamics*, **11** (2016), 061014 (7 pages).
19. Y. Xu, H.G Sun, Y. Zhang, H.W Sun and J. Lin, A novel meshless method based on RBF for solving variable-order time fractional advection-diffusion-reaction equation in linear or nonlinear systems, *Computers & Mathematics with Applications*, **142** (2023), 107-120.